

# Passage à l'échelle des méthodes de recherche sémantique dans les grandes bases d'images

David GORISSE

Thèse encadrée par

Frédéric PRECIOSO

Matthieu CORD

Sylvie PHILIPP-FOLIGUET

20 décembre 2010



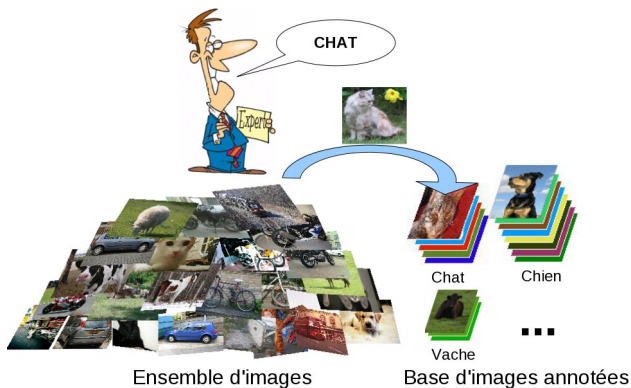
**Comment retrouver efficacement les images d'intérêt parmi un grand ensemble d'images ?**



# Introduction : Recherche d'information visuelle

Moteurs de recherche images basés sur l'information contextuelle :

- 1 Annotation manuelle de la base
- 2 Exploitation de métadonnées



# Introduction : Recherche d'information visuelle

Moteurs de recherche images basés sur l'information contextuelle :

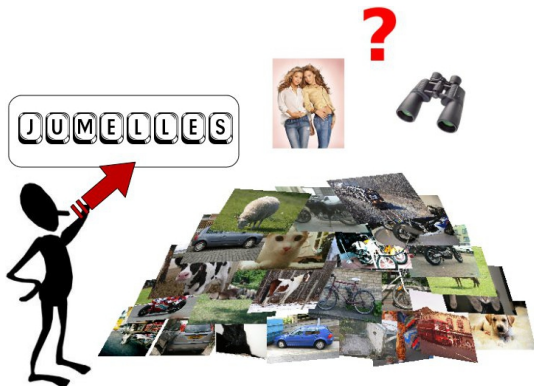
- 1 Annotation manuelle de la base
  - 2 Exploitation de métadonnées
- ⇒ Requête par mots clés



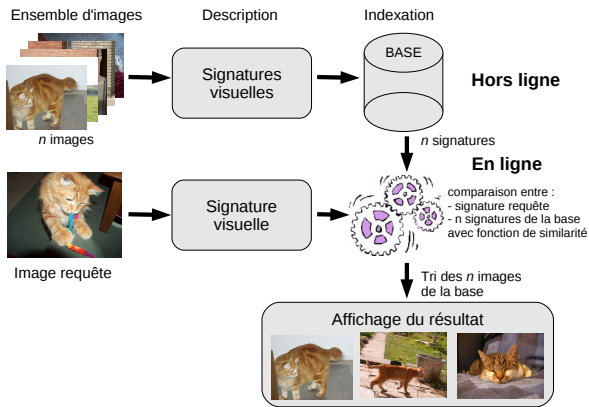
# Introduction : Recherche d'information visuelle

Moteurs de recherche images basés sur l'information contextuelle :

- 1 Annotation manuelle de la base ⇒ figé / peu évolutif
- 2 Exploitation métadonnées ⇒ fiabilité ?
- ⇒ Requête par mots clés ⇒ polysémie / ambiguïté



# Introduction : Système de recherche d'images par le contenu (CBIR)



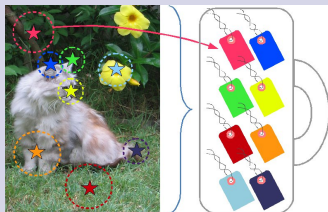
## Etapes clés :

- 1 Signatures visuelles
- 2 Fonction de similarité

## Représentation des images

- Extraction des primitives visuelles : pixels, régions, points d'intérêt
- Description : couleurs, textures, SIFT, ...

### Bag of Features (BoF)

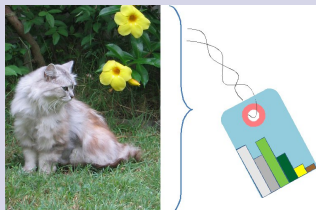


$I_j$

$B_j = \{b_{sj}\} \in I_j$

### Bag of Word (BoW)

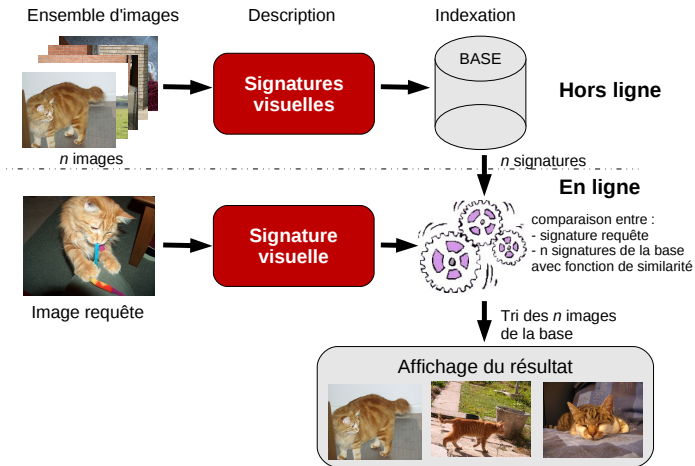
- Dictionnaire \ Histogramme



$I_j$

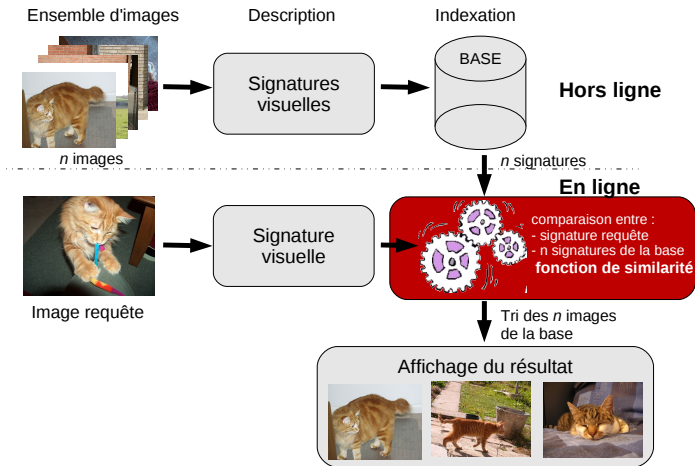
$H_j = |w_0|, \dots, |w_d| \in I_j$

# Introduction : Les problématiques en CBIR

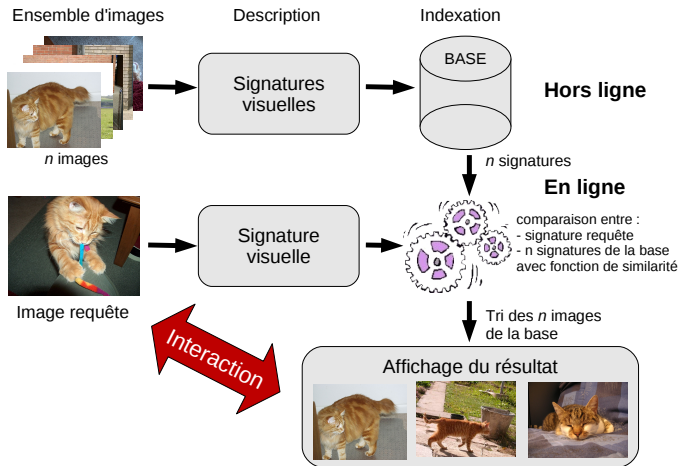




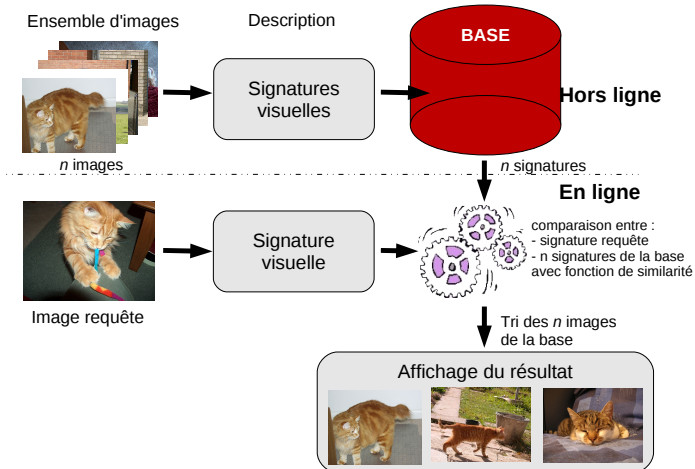
# Introduction : Les problématiques en CBIR



# Introduction : Les problématiques en CBIR



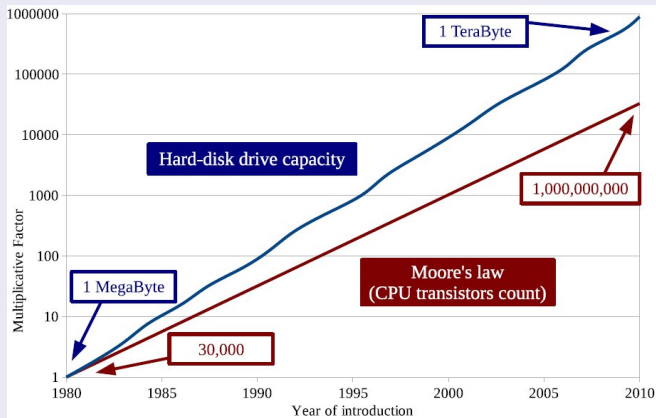
# Introduction : Les problématiques en CBIR



**Notre problématique : Complexité de la recherche**

Comparaison entre image requête et les  $n$  images de la base :  $O(n)$

# Introduction : De plus en plus d'images



Evolution vitesse des processeurs VS capacité de stockage

Besoin de réduire la complexité des moteurs de recherche !

# Introduction : Utilisation de structures d'index

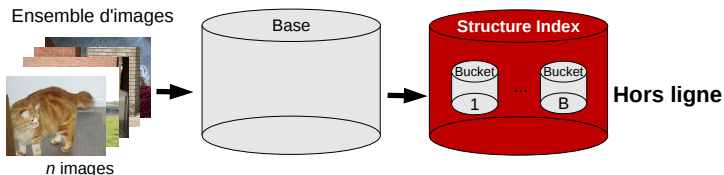
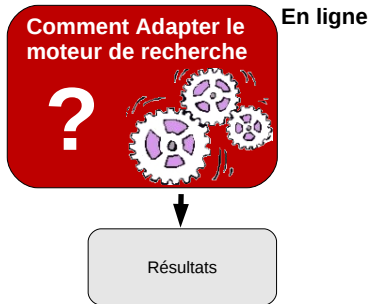


Image requête



## Problématique

Comment adapter les structures aux systèmes de recherche ?

- 1 Structure d'index : LSH
- 2 Détection de copies proches
- 3 Recherche sémantique
- 4 Recherche interactive
- 5 Conclusion

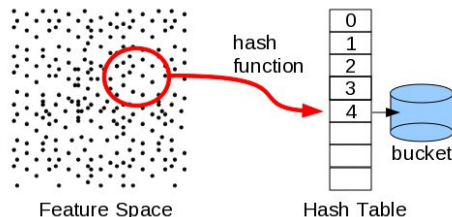
- 1 Structure d'index : LSH
- 2 Détection de copies proches
- 3 Recherche sémantique
- 4 Recherche interactive
- 5 Conclusion

## Structures d'index

Arbre (KD-Tree), Projections (Space-Filing Curves), Métrique (M-Tree), Approximation des données (VA-Files), Hachage (**LSH**), ...

## Vocabulaires

- Division de la base en Buckets
- Buckets  $\rightarrow$  table de hachage
- Accès Bucket via un clé (haché)
- Clé  $\rightarrow$  fonction de hachage  $h$
- Collision :  $h(\mathbf{x}) = h(\mathbf{y})$



## Contrainte

- $p_1$  : probabilité de « bonne » collision (vrais positifs)
- $p_2$  : probabilité de « mauvaise » collision (faux positifs)
- LSH :  $p_1 > p_2$



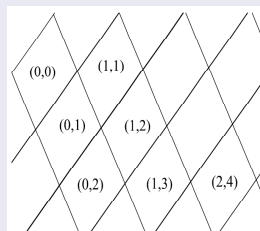
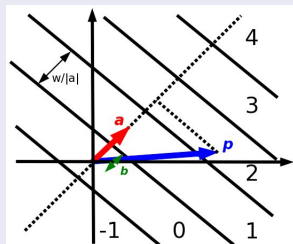
## Definition

Réaliser des recherches rapides selon la distance  $l_2$  :

- Fonction de hachage  $h_{a,b}$  basée sur un ensemble de projections aléatoires :

$$h_{a,b}(\mathbf{p}) = \left\lfloor \frac{\mathbf{a} \cdot \mathbf{p} + b}{w} \right\rfloor$$

- $\mathbf{a}$  : un vecteur aléatoire
  - $b$  : une valeur aléatoire dans  $[0, W[$
  - $W$  : spécifie la largeur d'une « tranche »
- Pour augmenter le partitionnement des données : concaténation de  $M$  fonctions de hachage.
- Pour réduire les problèmes de bords :
    - Utilisation de  $L$  tables de hachage.
- Extensions : MP-LSH [Lv2007], Leech Lattice [Andoni06], E8 Lattice [Jegou08], ...



- 1 Structure d'index : LSH
- 2 Détection de copies proches
- 3 Recherche sémantique
- 4 Recherche interactive
- 5 Conclusion

# Passage à l'échelle de la détection de copies

**BUT** : détection de copies proches

Retrouver un même objet dans un environnement différent (ou pris sous différents angles de vues)

## Image requête



## Images Cibles



## Images Négatives



## Approche par vote

[Lowe04]

- Bag of Features (SIFT) : Dénombrement des appariements

## Approche dictionnaire

[Zisserman03]

- Bag of Word (mots SIFT) : Distances  $l_1$

## Approche par vote

[Lowe04]

- Bag of Features (SIFT) : Dénombrement des appariements

⇒ Pas de similarité (ni de dissimilarité) !

## Approche dictionnaire

[Zisserman03]

- Bag of Word (mots SIFT) : Distances  $l_1$

⇒ Suffisamment discriminant ?

## Approche par vote

[Lowe04]

- Bag of Features (SIFT) : Dénombrement des appariements
- ⇒ Pas de similarité (ni de dissimilarité) !

## Approche dictionnaire

[Zisserman03]

- Bag of Word (mots SIFT) : Distances  $l_1$
- ⇒ Suffisamment discriminant ?

## Alternatives

- Bag of Features : Définir une fonction similarité sur BoF (Pyramid Matching [Grauman05])
- Bag of Word : Distribution plus fine (représentation de Fisher kernel [Perronnin07], VLAD [Jegou10])

## Approche par vote

[Lowe04]

- Bag of Features (SIFT) : Dénombrement des appariements

⇒ Pas de similarité (ni de dissimilarité) !

## Approche dictionnaire

[Zisserman03]

- Bag of Word (mots SIFT) : Distances  $l_1$

⇒ Suffisamment discriminant ?

## Alternatives

- Bag of Features : Noyaux sur Sacs

## Notations :

$$\begin{aligned} \text{Soit } k : \Omega \times \Omega &\rightarrow \mathbb{R} \\ X, Y &\mapsto k(X, Y) \end{aligned}$$

- $k$  est un Noyau *ssi* :

$$\exists \phi \forall (X, Y), k(X, Y) = \langle \phi(X), \phi(Y) \rangle$$

- avec  $\phi : \Omega \rightarrow \mathcal{H}$  (espace de Hilbert)
- $\phi$  : explicite ou implicite

Noyaux usuels pour  $\Omega \rightarrow \mathbb{R}^d$  :

- RBF :  $k(\mathbf{x}, \mathbf{y}) = e^{-\frac{d(\mathbf{x}, \mathbf{y})^2}{2\sigma^2}}$ ,  $l_2$ -RBF : avec  $d(\mathbf{x}, \mathbf{y}) = \|\mathbf{x} - \mathbf{y}\|_2$



Définition :  $K_{conv}$

$$K_{conv}(B_q, B_j) = \sum_{\mathbf{b}_{sj} \in B_j} \sum_{\mathbf{b}_{rq} \in B_q} k(\mathbf{b}_{sj}, \mathbf{b}_{rq})$$

si  $k$  est un Noyau  $\Rightarrow K_{conv}$  est un Noyau (pour  $p \in \mathbb{Z}^{+*}$ )

Pour chaque couple  $(\mathbf{b}_{rq}, \mathbf{b}_{sj})$  : noyau mineur  $k(\mathbf{b}_{rs}, \mathbf{b}_{sj})$

Image  $I_q$  représentée  
par : Sac  $B_q$   
 $r$  vecteurs  $\mathbf{b}_{rq}$

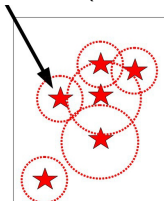
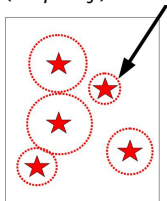


Image  $I_j$  représentée  
par : Sac  $B_j$   
 $s$  vecteurs  $\mathbf{b}_{sj}$

# Noyau sur sac : Complexité

Noyaux sur sacs :  $K_{conv}$

Bons Résultats

MAIS Complexité très importante :

similarité entre 2 images  $O(|B|^2)$ , recherche dans une base :  $O(n|B|^2)$

Diminution de la complexité :

- Pyramid Match Hashing [Grauman06]

⇒ bonne performance

- MAIS ne s'étend pas aux noyaux ou  $\Phi$  n'est pas explicite

Si la classe des noyaux est différente (ex :  $K_{conv}$ )

- Peut-on accélérer le calcul ?

# Noyau sur sac : Complexité

Noyaux sur sacs :  $K_{conv}$

Bons Résultats

MAIS Complexité très importante :

similarité entre 2 images  $O(|B|^2)$ , recherche dans une base :  $O(n|B|^2)$

Diminution de la complexité :

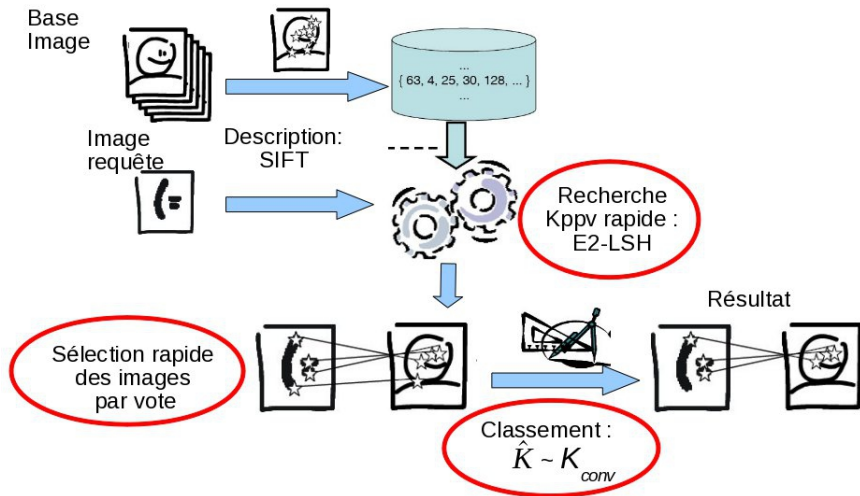
- Pyramid Match Hashing [Grauman06]

⇒ bonne performance

- MAIS ne s'étend pas aux noyaux ou  $\Phi$  n'est pas explicite

Si la classe des noyaux est différente (ex :  $K_{conv}$ )

- Peut-on accélérer le calcul ?
- $UFast_K$  : schéma d'optimisation inspiré de l'approche par vote.



# UFast<sub>K</sub> : Approximation de K



- Calcul de  $k(\mathbf{b}_{rq}, \mathbf{b}_{sj})$  pour :

- $\forall \mathbf{b}_{rq} \in B_q$
- $\forall \mathbf{b}_{sj} \in B_j$

$$\Rightarrow O(|B_q||B_j|)$$

Complexité trop importante !



- Calcul de  $k(\mathbf{b}_{rq}, \mathbf{b}_{sj})$  uniquement pour :
- couples  $(\mathbf{b}_{rq}, \mathbf{b}_{sj})$  retrouvés via LSH

Réduction de Complexité

## Formalisme unifié

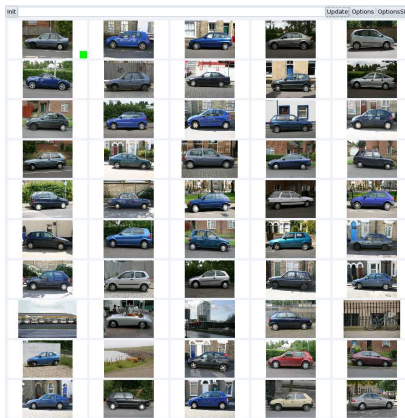
- $score_j = UFast_K(B_j, B_q) = \sum_{\mathbf{b}_{rq} \in B_q} \sum_{\mathbf{b}_{sj} \in B_j} k(\mathbf{b}_{rq}, \mathbf{b}_{sj}) f_{LSH}(\mathbf{b}_{rq}, \mathbf{b}_{sj})$

avec  $f_{LSH}(\mathbf{b}_{sj}, \mathbf{b}_{rq}) = \mathbb{I}_{LSH(\mathbf{b}_{rq})=LSH(\mathbf{b}_{sj})}$

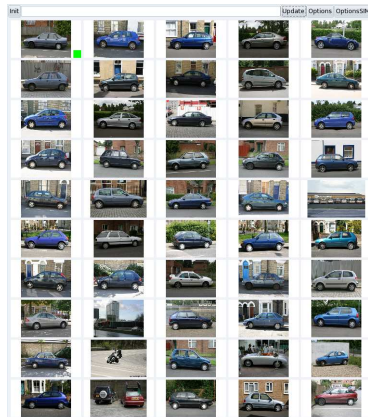
- Vote :  $score_j = \sum \sum \mathbb{I}_{KNN(\mathbf{b}_{rq}, \mathbf{b}_{sj})}$
  - BoW :  $score_j = \sum \sum \mathbb{I}_{Q(\mathbf{b}_{rq})=Q(\mathbf{b}_{sj})}$
  - $K_{conv}$ , VLAD
- } [Jegou08]

# Exemple

VOC2006 : 5 300 image, 260 Pol / image  
1,4 Millions SIFT couleur (384 dimensions)



Recherche exacte : 6 minutes



$UFast_K$  : 2,4 secondes

# Evaluation

- 2 Bases :
  - INRIA Holiday = 1 491 images (dont 500 requêtes)
  - Holiday + Flickr = 100 000
- Index :
  - Descripteur SIFT (128 dimensions)
  - BoF ( 4 000 SIFT par image)

INRIA Holiday = 4,5 millions de descripteurs,  
Holiday + Flickr = 208 millions de descripteurs

- Protocole : MAP
  - 500 images requêtes (INRIA Holiday)
  - INRIA Holiday : verité terrain
  - Flickr : distracteurs





# Comparison avec les méthodes de l'état de l'art

## INRIA Holidays

Méthode	paramètres	MAP
BoW	1K mots	41.4
	20K mots	44.6
	200K mots	54.9
VLAD	16 mots, taille du vecteur=2048	49.6
	64 mots, taille du vecteur=8192	52.6
<i>UFast<sub>K</sub></i>	$2NN \ M = 24 \ L = 4 \ T = 50$	76

⇒ Amélioration de la recherche en conservant une information plus fine

## Base Holidays + Flickr (100K)

- MAP de 42
- 31 Go de RAM
- 40 secondes
- KNN pour 1 SIFT de l'image requête : 16 ms

Avec réduction du nombre de SIFT de l'image requête : 4 000  $\Rightarrow$  200 SIFT

Temps de recherche de 3,2 secondes

- 1 Structure d'index : LSH
- 2 Détection de copies proches
- 3 Recherche sémantique**
- 4 Recherche interactive
- 5 Conclusion

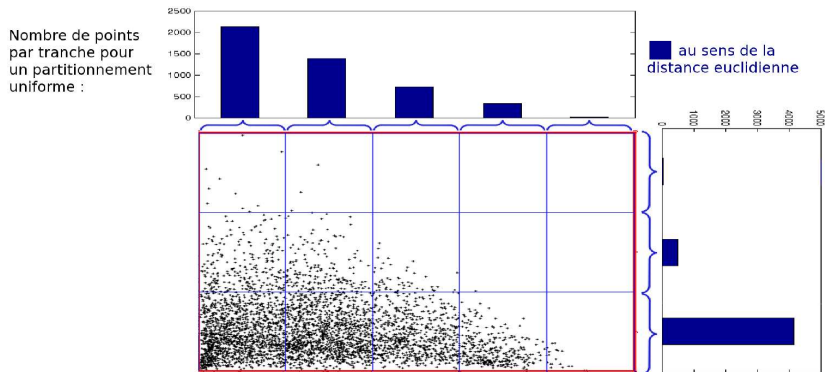
## 1 image = 1 descripteur

- Très grandes Bases > 10M images :
  - BoF plus possible  $\Rightarrow$  BoW
- BoW : similarités basées distance  $\chi^2$  très compétitives en recherche d'images [Chapelle99, ...]
- Exemple :  $\chi^2$ -RBF,  $k(\mathbf{x}, \mathbf{y}) = e^{-\frac{d^2(\mathbf{x}, \mathbf{y})}{2\sigma^2}}$  avec  $d(\mathbf{x}, \mathbf{y}) = \sqrt{\sum_i \frac{(x_i - y_i)^2}{(x_i + y_i)}}$

$\Rightarrow$  Besoin d'un schéma de recherche rapide pour la distance  $\chi^2$

# Mise en évidence de l'intérêt de la distance $\chi^2$

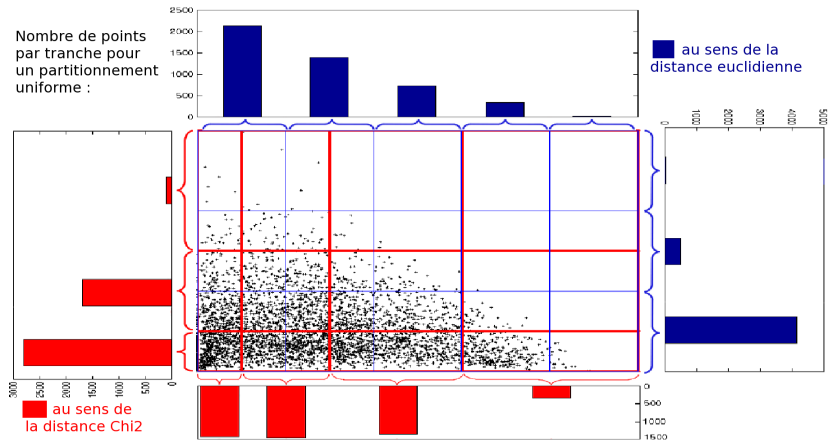
4 500 images de la base COREL : sélection de 2 dimensions de l'espace BoW couleur et texture



Découpage avec un pavage uniforme  
⇒ mauvaise répartition des cellules

# Mise en évidence de l'intérêt de la distance $\chi^2$

4 500 images de la base COREL : sélection de 2 dimensions de l'espace BoW couleur et texture



Découpage avec un pavage non uniforme  
⇒ meilleure repartition des cellules

# CHI2-LSH : LSH pour la distance $\chi^2$

## Objectif

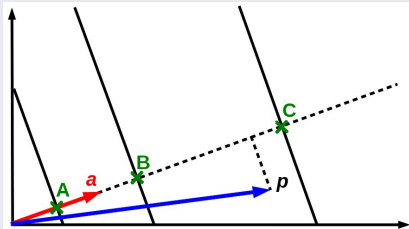
Recherche rapide selon la distance  $\chi^2$  et approximation du Noyau  $\chi^2$ -RBF.

## Principe

- Projection des données sur  $\mathbf{a}$  : une direction aléatoire de l'espace
- Découpage régulier de l'espace sur l'axe projeté (au sens du  $\chi^2$ )

$$\chi^2(A, B) = \chi^2(B, C)$$

- Utilisation arbre de recherche, ...



# CHI2-LSH : LSH pour la distance $\chi^2$

## Objectif

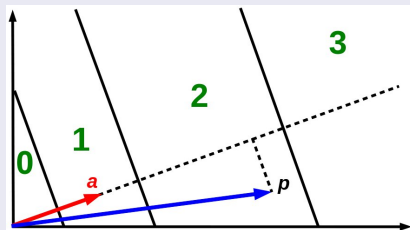
Recherche rapide selon la distance  $\chi^2$  et approximation du Noyau  $\chi^2$ -RBF.

## Principe

- Projection des données sur  $\mathbf{a}$  : une direction aléatoire de l'espace
- Découpage régulier de l'espace sur l'axe projeté (au sens du  $\chi^2$ )

$$\chi^2(A, B) = \chi^2(B, C)$$

- Utilisation arbre de recherche, ...



## Fonction de hachage

$$h_{a,b}(\mathbf{p}) = \lfloor \frac{\sqrt{\frac{8\mathbf{a}\cdot\mathbf{p}}{W^2} + 1} - 1}{2} + b \rfloor$$



## Système de hachage complet

Pour augmenter le partitionnement des données :

- concaténation de  $M$  fonctions de hachage

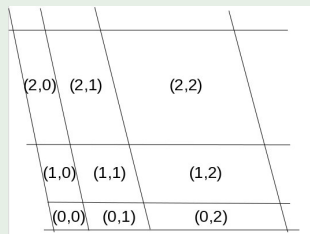
Pour réduire les effets de bords :

- $L$  tables de hachage

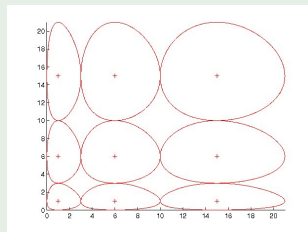
Pour réduire l'occupation mémoire :

- Extension au Multi-Probe LSH : visite des  $T$  meilleurs Bucket (probes) [lv2007]

## Réseau CHI2-LSH



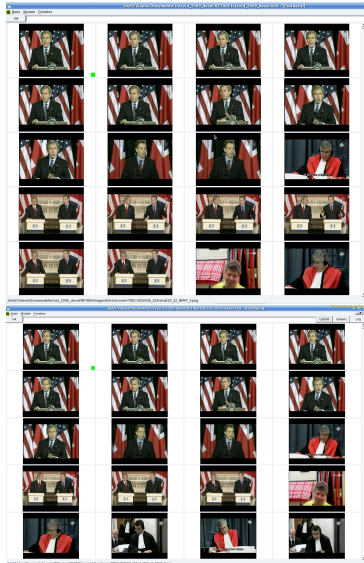
## Réseau sphérique $\chi^2$



# Evaluation 1 : précision VS temps de recherche

- Bases :
  - 158 000 KeyFrames de TrecVid 2007 à 2009
- Index : BoW 128 dimensions
  - 64 couleurs Lab
  - 64 textures (filtres de Gabor)
- Protocole de test :
  - Verité terrain : recherche exacte 20-NN
  - Précision recherche rapide 20-NN

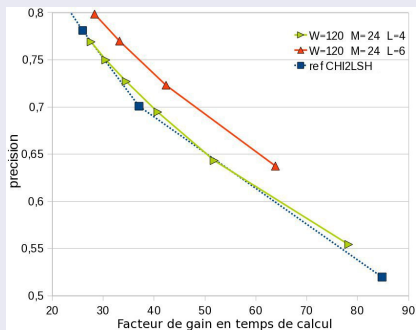
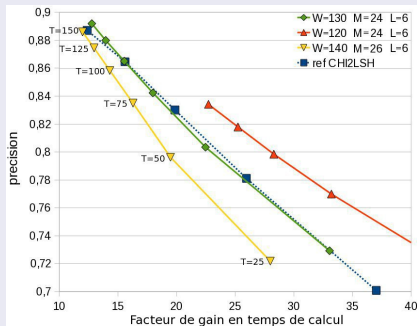
Exemple de recherche linéaire (240 ms)



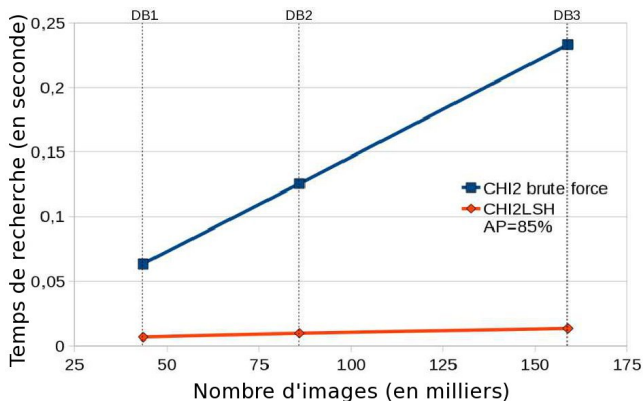
Exemple de recherche rapide (8 ms)

# Evaluation 1 : précision VS temps de recherche

## Paramétrage du système : $W$ , $M$ , $L$ , $T$



# Evaluation 1 : évaluation de la complexité

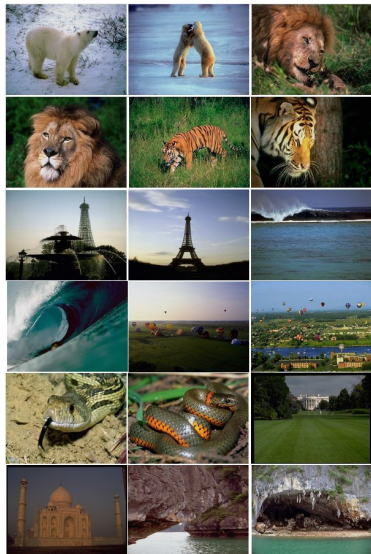


## Evolution des temps de recherche en fonction de la taille de la base

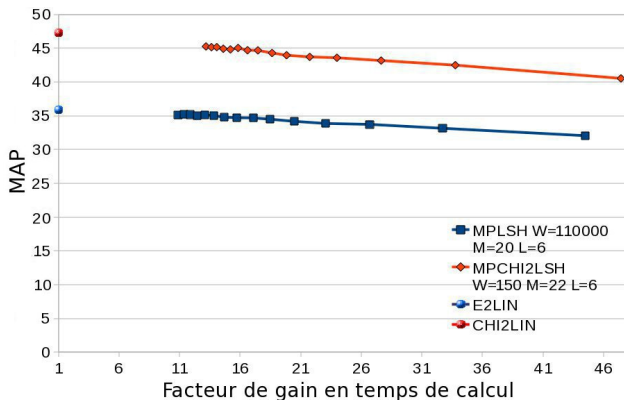
Base	Taille	Exacte	CHI2-LSH
DB1 : TrecVid 2007	43 000	63 ms	6,67 ms
DB2 : DB1 + TrecVid 2008	86 000	126 ms	9,68 ms
DB3 : DB2 + TrecVid 2009	158 000	233 ms	13,44 ms

# Evaluation 2 : comparaison E2-LSH & CHI2-LSH

- Base issue de COREL :
  - 154 catégories
  - 99 images par catégories
  - ⇒ 15 246 images
- Index : BoW 128 dimensions
  - 64 couleurs Lab
  - 64 textures (filtres de Gabor)
- Protocole de test : Leave One out
  - classifieur K-NN ( $K = 20$ )
  - score : précision moyenne
- Méthodes comparées :
  - E2-Lin
  - E2-LSH
  - CHI2-Lin
  - CHI2-LSH



# Evaluation 2



## Bilan

- distance  $\chi^2$  mieux adaptée que  $l_2$  : Gain de 30% (MAP 47  $\Leftrightarrow$  36)
- CHI2-LSH et E2-LSH performance similaire (précision / gain en temps de recherche)

## Contributions

- Nouvelle fonction de hachage adaptée à la représentation BoW
- Optimisation Multi-Probe pour réduire l'occupation mémoire :  
⇒ Max (30 Go RAM) : 50 millions d'images (dim 128), 200 M (dim 32)
- Propriétés « Local Sensitivity » démontrées pour notre  $\chi^2$ -LSH :

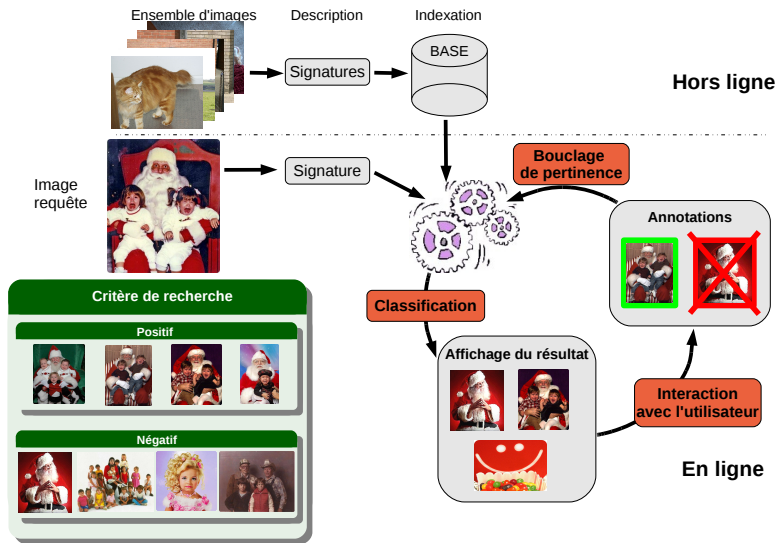
$$\text{Si } \chi^2(p, q) \leq R \text{ alors } Pr_{\mathcal{H}} \left[ \left\lfloor \frac{\sqrt{\frac{8a \cdot p}{w^2} + 1} - 1}{2} + b \right\rfloor = \left\lfloor \frac{\sqrt{\frac{8a \cdot q}{w^2} + 1} - 1}{2} + b \right\rfloor \right] \geq p_1$$

$$\text{Si } \chi^2(p, q) \geq cR \text{ alors } Pr_{\mathcal{H}} \left[ \left\lfloor \frac{\sqrt{\frac{8a \cdot p}{w^2} + 1} - 1}{2} + b \right\rfloor = \left\lfloor \frac{\sqrt{\frac{8a \cdot q}{w^2} + 1} - 1}{2} + b \right\rfloor \right] \leq p_2$$

Avec  $c = 1 + \epsilon$  et  $p_1 > p_2$ .

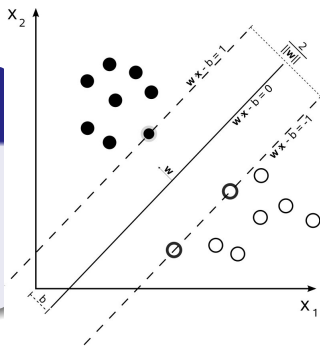
- 1 Structure d'index : LSH
- 2 Détection de copies proches
- 3 Recherche sémantique
- 4 Recherche interactive
- 5 Conclusion





## Ensemble d'apprentissage & Données à classer

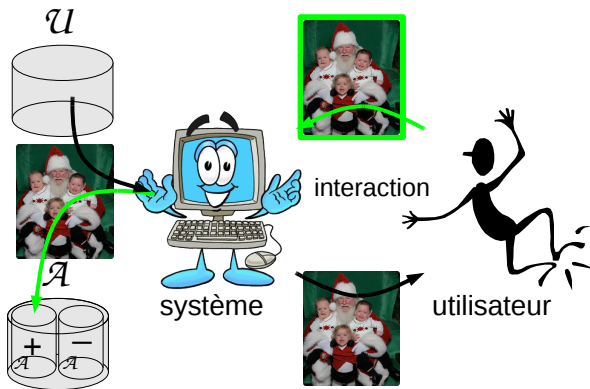
- $\mathcal{A} = \{(\mathbf{x}_i, y_i)_{i=1, N} \mid y_i \neq 0\}$ 
  - $y_i = +1$  exemple positif.
  - $y_i = -1$  exemple négatif.
- $\mathcal{U} = \{(\mathbf{x}_i, y_i)_{i=1, N} \mid y_i = 0\}$



## SVM :

- Minimiser  $\frac{\|\mathbf{w}\|^2}{2}$  sous la contrainte  $(\forall \mathbf{x}_i \in \mathcal{A}) y_i(\langle \mathbf{w}, \phi(\mathbf{x}_i) \rangle + b) \geq 1$
- Fonction de pertinence  $f_{\mathcal{A}}(\mathbf{x}) = \langle \mathbf{w}, \phi(\mathbf{x}) \rangle + b$
- Estimer la pertinence de  $\mathcal{U}$

# Construction ensemble apprentissage :



## Apprentissage interactif : Construction itérative base d'apprentissage.

- Système sélection une image  $x_s \in \mathcal{U} \Rightarrow$  présente  $x_s$  à l'utilisateur.
- Utilisateur annote l'image : si  $x_s$  est pertinente :  $y_s = +1$  sinon  $y_s = -1$ .
- le couple  $(x_s, y_s) \cup \mathcal{A}$ .
- Construction de  $\mathcal{A}$  itérativement en utilisant des interactions Homme-Machine.

## But

Quelles images annoter pour améliorer au mieux la recherche ?

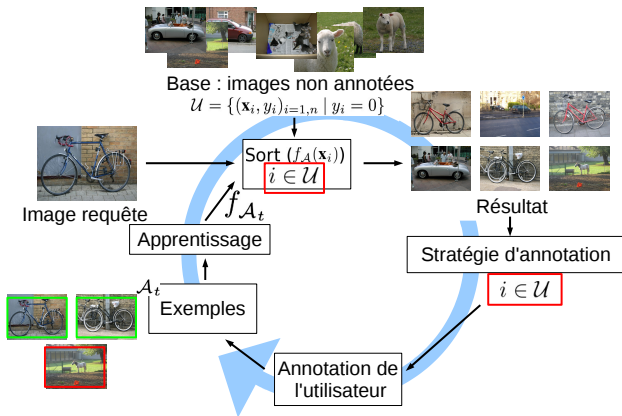
## Lesquelles choisir ?

- Les plus incertaines [Tong02] et les plus diversifiées : Diversité des Angles [Brinker03] :

$$i^* = \arg \min_{\mathbf{x}_i \in \mathcal{U}} (\lambda |f_{\mathcal{A}}(\mathbf{x}_i)| + (1 - \lambda) \max_{\mathbf{x}_j \in \mathcal{A}} \frac{k(\mathbf{x}_i, \mathbf{x}_j)}{\sqrt{k(\mathbf{x}_i, \mathbf{x}_i)k(\mathbf{x}_j, \mathbf{x}_j)}})$$

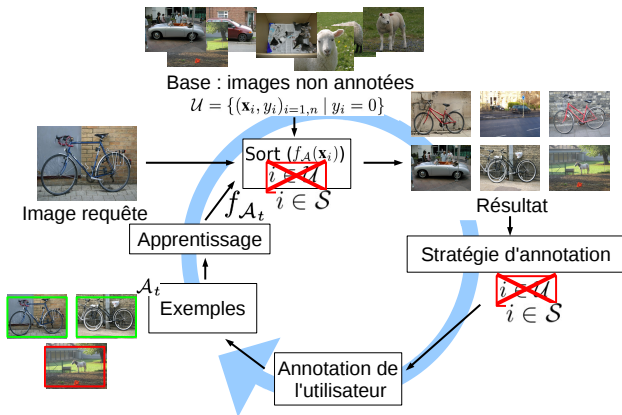
- Autres stratégies : les plus pertinentes, ... [Zhou03]

# Identification du problème de complexité



- Complexité linéaire par rapport à la taille de la base :  
⇒ inadapté aux grandes bases d'images

# Identification du problème de complexité



## Idee : sous échantillonnage

- Considérer uniquement **un sous ensemble  $\mathcal{S}$**  au lieu de  $\mathcal{U}$   
avec  $N < |\mathcal{S}| \ll n = \mathcal{U}$
- Comment construire  $\mathcal{S}$  ?

# Comment accélérer la recherche ?

## Méthodes

- Sous échantillonnage de  $\mathcal{U}$  – sélection aléatoire ?
- Méthode de clustering : Hierarchical sampling [Panda06]
- Utilisation d'un M-Tree [Crucianu07]

## Difficulté

- fonction de pertinence du SVM complexe :

$$f_{\mathcal{A}}(\mathbf{x}) = \sum_{i=0}^{|\mathcal{A}|} y_i \alpha_i K(\mathbf{a}_i, \mathbf{x})$$

## Notre stratégie : SALSAS

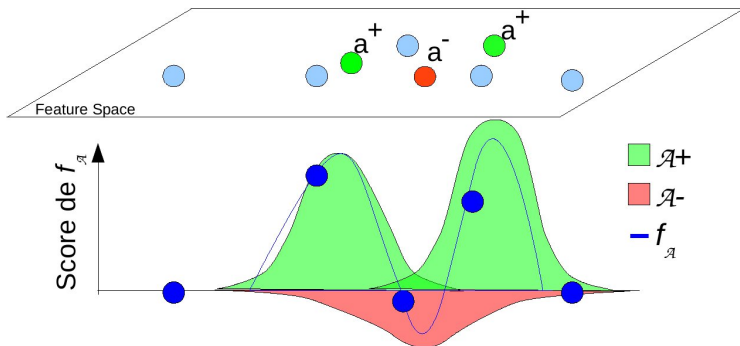
- échantillonnage basé sur une recherche KNN optimisée (LSH)
- approximation de  $f_{\mathcal{A}}$

# Stratégie d'échantillonnage

## Décomposition de $f_{\mathcal{A}}$

$$f_{\mathcal{A}}(\mathbf{x}) = \sum_{p \in \mathcal{A}^+} \alpha_p K(\mathbf{a}_p^+, \mathbf{x}) - \sum_{n \in \mathcal{A}^-} \alpha_n K(\mathbf{a}_n^-, \mathbf{x}) = f_{\mathcal{A}^+}(\mathbf{x}) - f_{\mathcal{A}^-}(\mathbf{x})$$

avec  $\mathcal{A}^+$  : exemples positifs     $\mathcal{A}^-$  : exemples négatifs



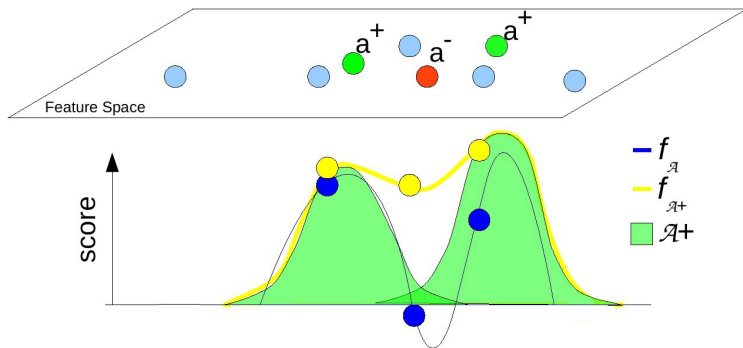


# Stratégie d'échantillonnage

Recherche TopN : approximation de la maximisation de  $f_A$

■ score  $f_A(x)$  élevé  $\Rightarrow$   $f_{A^+}(x)$  élevé

$\Rightarrow$  Maximiser  $f_A$  avec Maximisation de  $f_{A^+}$

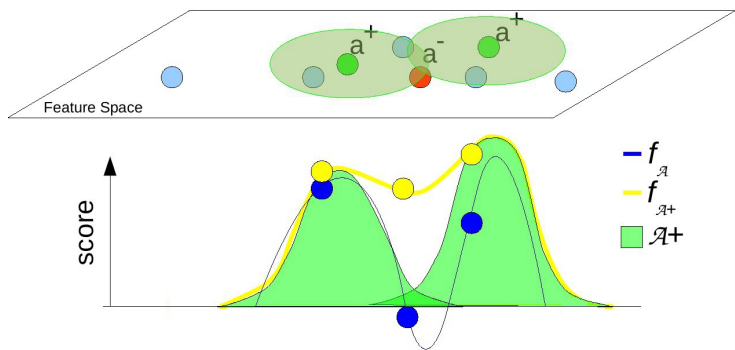


# Stratégie d'échantillonnage

## SALSAS : construction du pool $\mathcal{S}$

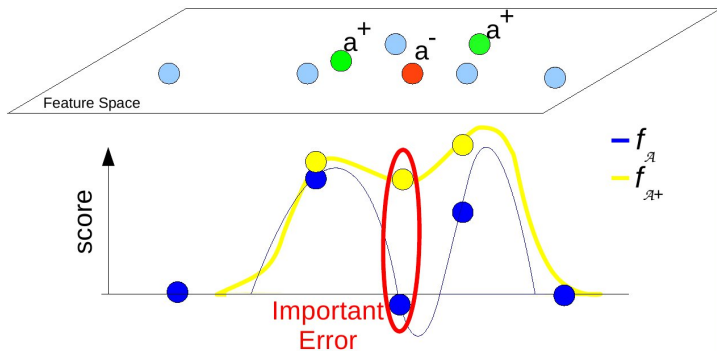
- Maximisation rapide de  $f_{\mathcal{A}^+}$

$\Rightarrow \mathcal{S} = \{\mathbf{x} \in \mathcal{U} \mid \mathbf{x} = \text{KNN}(\mathbf{a})\}$  avec  $\mathbf{a} \in \mathcal{A}^+$



## Elagage

- $f_{\mathcal{A}^+}(x)$  élevé  $\nRightarrow$   $f_{\mathcal{A}}(x)$  élevé
- Calcul de  $f_{\mathcal{A}}$  possible sur  $\mathcal{S}$



## Recherche dans $\mathcal{S}$

- $\mathcal{S} > N \Rightarrow \mathcal{S}$  contient des images incertaines

$\Rightarrow$  Rechercher des images les plus incertaines et les plus diversifiées de  $\mathcal{S}$  :

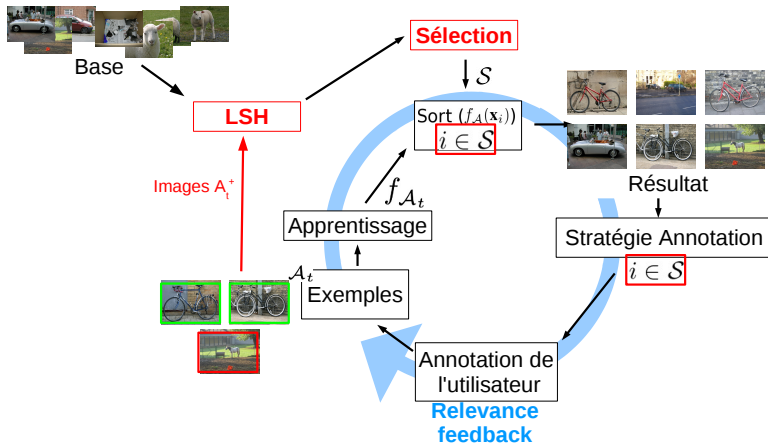
$$i^* = \arg \min_{\mathbf{x}_i \in \mathcal{S}} (\lambda |f_{\mathcal{A}}(\mathbf{x}_i)| + (1 - \lambda) \max_{\mathbf{x}_j \in \mathcal{A}} \frac{k(\mathbf{x}_i, \mathbf{x}_j)}{\sqrt{k(\mathbf{x}_i, \mathbf{x}_i)k(\mathbf{x}_j, \mathbf{x}_j)}})$$

## Intérêts

- Très rapide :  $\mathcal{S}$  déjà calculé
- Rééquilibrage du problème :
  - Grandes bases  $\Rightarrow$  |images non pertinentes|  $\gg$  |images pertinentes|

Recherche dans un voisinage des images pertinentes  $\Rightarrow$  plus d'images pertinentes sélectionnées

# Notre algorithme : SALSAS

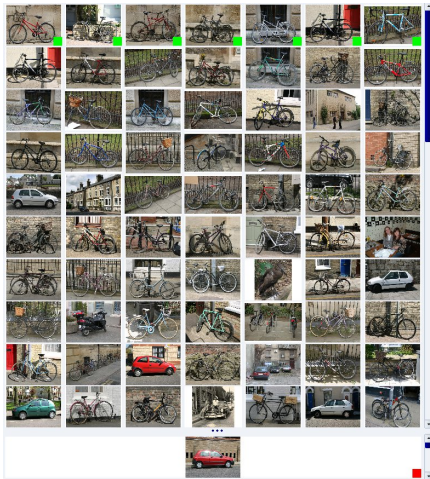


## Mise à jour de $S$ :

- Ajout des KNN des nouvelles images annotées positivement
- Pour être efficace : LSH

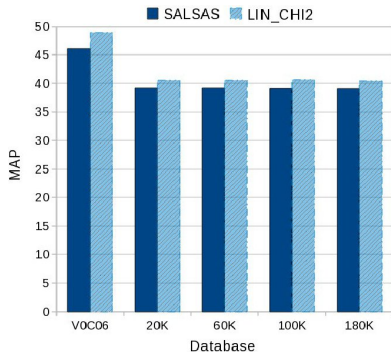
# Exemples

- Base : 180 000 images (VOC 2006, 2007, 2008 + TrecVid 2007, 2008, 2009)
- Index : BoW 128 dimensions
  - 64 couleurs Lab
  - 64 textures (filtres de Gabor)
- Paramètres : 1 annotation par itération, TOP200, recherche 100-NN
- Paramètres LSH :  $M = 24$  projections,  $L = 4$  tables de hachage,  $T = 100$  probes

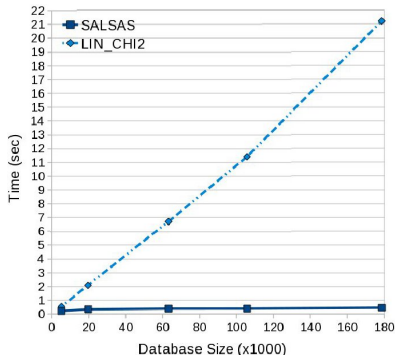


# Résultats

- Comparaison de la précision et du temps de recherche entre SALSAS et la recherche exacte
- Session de recherche de 50 itérations
- 5 bases entre 5 000 et 180 000 images
- $\chi^2$ -RBF avec  $\sigma = 200$
- Paramètres LSH  $W = 400$



MAP du TOP200 à la 50<sup>e</sup> itération : 10 classes VOC06 pour les 5 bases



Temps de recherche pour 50 itérations vs taille de la base

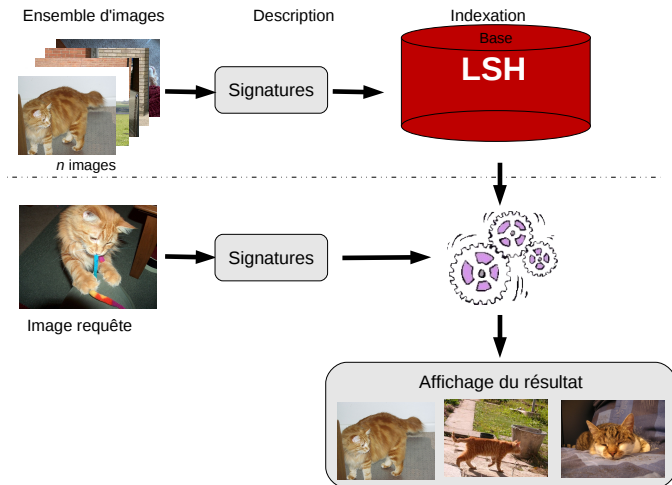
## Stratégie pour passage à l'échelle la recherche interactive :

- TopN + annotation : pool d'images  $\mathcal{S}$
- Mise à jour du pool rapide (LSH)
- ⇒ 45 × plus rapide que la recherche exacte (pour 180K images)
- ⇒ Qualité de recherche similaire à la recherche exacte

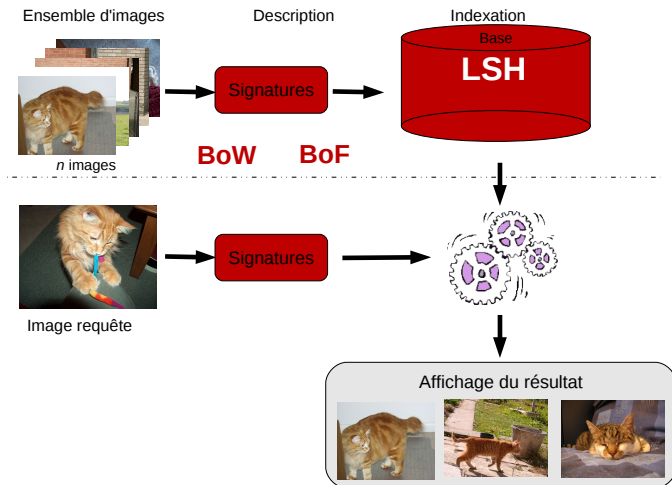


- 1 Structure d'index : LSH
- 2 Détection de copies proches
- 3 Recherche sémantique
- 4 Recherche interactive
- 5 Conclusion**

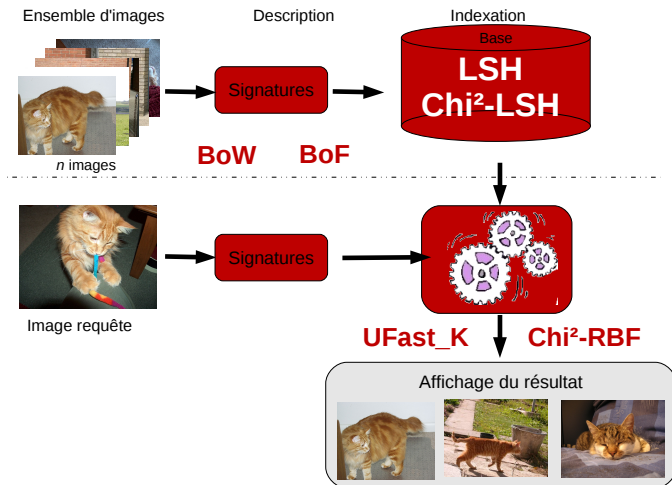
# Conclusion



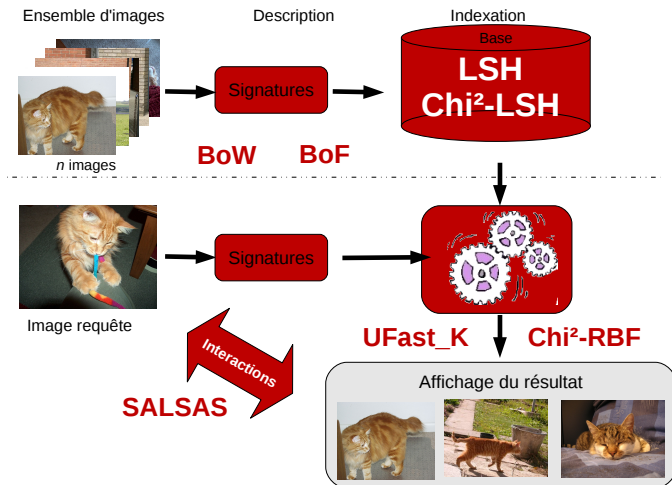
# Conclusion



# Conclusion



# Conclusion



## RETIN [Cord, Gosselin, Fournier]

- SALSAS : Journal (Pattern Recognition, *accepted*, 2010) & 2 (ICIP)
- *UFast $\kappa$*  : (ICPR 08)

## consortium IRIM pour les compétitions TrecVid

- Résumés Vidéos (ACM TRECVideo Video Summarization Workshop 2008), Classification Vidéos (TREC Video Retrieval Evaluation Online Proceedings 2010)

## Eduardo Valle UNICAMP, Campinas, Brésil pour Structures d'index

- Journal : Information Sciences 2010 *in press*, Journal **SOUMIS** à : IEEE transactions on pattern analysis and machine intelligence

## Détection de copies proches

- Réduction de l'occupation mémoire des données (ACP, compression)
- Réduction du nombre de PoI pour décrire les images
- Comparaison entre  $UFast_K$  et K-LSH [Kulis09]
- Extension de K-LSH au schéma E2-LSH  
( $|\Phi(X) - \Phi(Y)|^2 = 2 - 2K(X, Y)$ ) pour noyaux normés

## Recherche interactive

- Autres stratégies de sélection
- Amélioration de KDX [Panda05]  $\rightarrow$  KDX-LSH
- Utilisation de K-LSH
- Extension de Hashing Hyperplan Queries [Jain10] aux noyaux